



СООБЩЕНИЯ  
ОБЪЕДИНЕННОГО  
ИНСТИТУТА  
ЯДЕРНЫХ  
ИССЛЕДОВАНИЙ

ДУБНА

С 344.36

А - 391

3183/2-78

31/III - 78

P13 - 11404

Ю.К.Акимов, А.И.Калинин, Е.Тиссольд,  
В.Д.Фромм, П.Экштейн

МЕДЛЕННЫЕ СОВПАДЕНИЯ  
ДЛЯ МНОГОМЕРНОГО АНАЛИЗА  
В СТАНДАРТЕ КАМАК

**1978**

P13 - 11404

Ю.К.Акимов, А.И.Калинин, Е.Тиссольд,  
В.Д.Фромм, П.Экштейн

МЕДЛЕННЫЕ СОВПАДЕНИЯ  
ДЛЯ МНОГОМЕРНОГО АНАЛИЗА  
В СТАНДАРТЕ КАМАК

Акимов Ю.К. и др.

Р13 - 11404

Медленные совпадения для многомерного анализа в стандарте  
КАМАК

Описывается схема совпадений с программно изменяемыми задержками и длительностями сигналов в каналах. Схема имеет шесть входов совпадений и один – антисовпадений. Время задержки для совпадений изменяется в пределах 8 мкс, а длительность сигналов – от 0,25 до 5 мкс. Схема совпадений разработана применительно к многомерному спектрометрическому анализу с использованием амплитудно-цифровых и время-цифровых преобразователей. Введение такой схемы позволяет заметно уменьшить "мертвое" время аппаратуры и произвести быстрый и надежный отбор строго коррелированной цифровой информации с преобразователей.

Работа выполнена в Лаборатории ядерных проблем ОИЯИ.

Сообщение Объединенного института ядерных исследований. Дубна 1978

Akimov Yu.K. et al.

Р13 - 11404

Slow Coincidence for CAMAC Multiparameter Analysis

A coincidence circuit with controlled parameters is described. The circuit has six coincidence inputs and one input for anticoincidences.

A pulse duration in channels is changed from 0.25 to 5  $\mu$ s and delay time, within 8  $\mu$ s. The circuit is developed for multiparameter spectrometric analysis with the use of amplitude-digital and time-digital convertors. Its introduction permits one to diminish considerably the "dead" time of apparatus and to select rapidly and reliably strictly correlated digital information from convertors.

The investigation has been performed at the Laboratory of Nuclear Problems, JINR.

Communication of the Joint Institute for Nuclear Research. Dubna 1978

© 1978 Объединенный институт ядерных исследований Дубна

## 1. ВВЕДЕНИЕ

Описываемая ниже схема совпадений была разработана применительно к многомерному спектрометрическому анализу с использованием амплитудно-цифровых /АЦП/ и время-цифровых /ВЦП/ преобразователей. Схема совпадений подключается к логическим выходам этих приборов, сигналы с которых возникают в моменты времени, соответствующие началу преобразований /1,2/. В АЦП это происходит, когда анализируемый импульс достигнет максимума, а в ВЦП – при появлении сигнала "стоп". Разница во времени появления логических сигналов с АЦП и ВЦП лежит обычно в микросекундной области и может меняться, например, при изменении формирующих цепей в спектрометрическом усилителе. Эта разница учитывается в рассматриваемой ниже схеме путем программного выбора задержек и длительностей импульсов перед отбором совпадений. Выходные сигналы со схемы совпадений вновь подаются на АЦП и ВЦП, чтобы разрешить в них продолжение преобразований информации в цифровой вид. При отсутствии совпадений преобразование в АЦП или ВЦП прекращается. В результате схема совпадений позволяет заметно уменьшить "мертвое" время аппаратуры и произвести быстрый и надежный отбор строго коррелированной цифровой информации с АЦП и ВЦП.

Возможны, конечно, и другие применения данной схемы, в том числе и с использованием большого количества ее каналов.

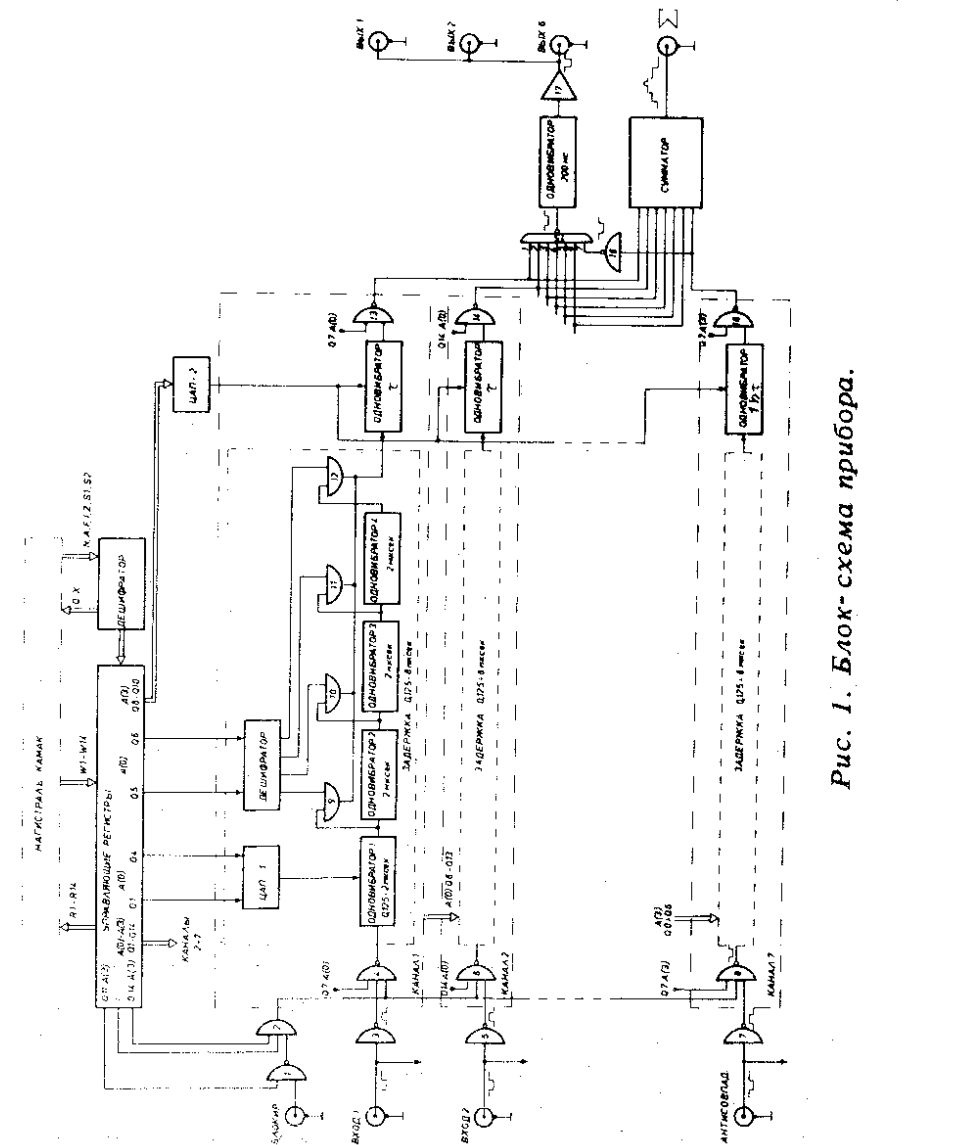


Рис. 1. Блок-схема прибора.

## 2. БЛОК-СХЕМА

Принцип работы схемы совпадений иллюстрируется на рис.1. Включение того или иного канала и установка величины задержки и длительности импульсов в каналах производятся при помощи управляющих регистров, связанных с магистралью КАМАК. Каждый из каналов имеет свою цепь задержки, составленную из четырех одновибраторов. Первый одновибратор управляет 16 разных задержек с шагом 0,125 мкс. Каждый из последующих одновибраторов дает постоянную задержку, равную 2 мкс. В результате имеется возможность выбора одного из 64 значений задержек в пределах 0 ÷ 7,875 мкс. Пятый одновибратор, поставленный на выходе каждого канала, служит для формирования импульсов по длительности в диапазоне  $t = 0,25 \div 5$  мксс шагом 0,25 мкс. Длительность импульсов в канале антисовпадений выбрана в 1,5 раза большей. Пяты одновибраторы всех каналов подключены к одному и тому же цифро-аналоговому преобразователю /ЦАП-2/. Выходной одновибратор формирует импульсы длительностью 200 нс. Амплитуда выходных импульсов, как и входных, соответствует стандарту NIM. Схема может принимать импульсы любой длительности, начиная с 10 нс.

Кратность схемы совпадений изменяется от 1 до 6 при помощи ворот на выходе каналов /13, 14/. Схема имеет блокировку по всем входам, осуществляющую командой 1 через магистраль КАМАК и элемент 2, а также импульсную блокировку со стороны лицевой панели, осуществляющую через элементы 1 и 2.

## 3. ОДНОВИБРАТОРЫ

Одновибратор постоянной длительности, отличающийся малым временем восстановления, показан на рис.2. В исходном состоянии потенциал выхода 3 низкий, а выхода 6-высокий. Транзистор T слабо проводит, и поэтому потенциал в точке 5 также высокий /4,6 В/.

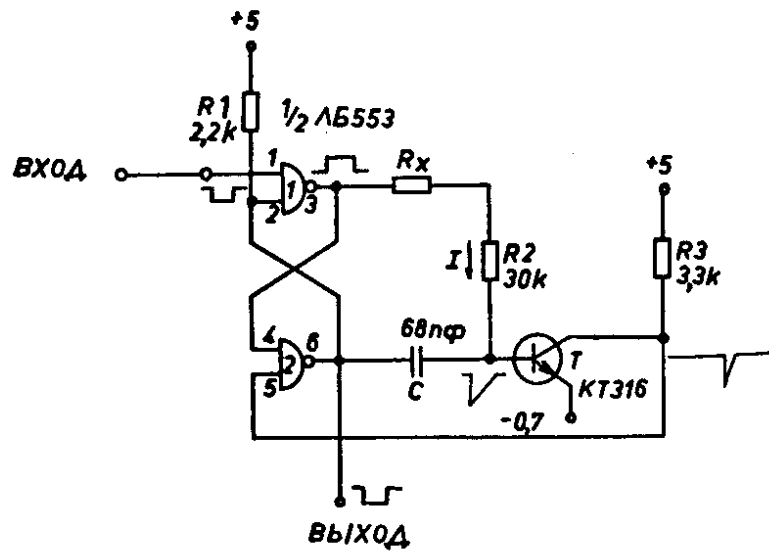


Рис.2. Одновибратор для постоянной задержки сигналов.

Входной импульс перебрасывает одновибратор в другое состояние. При этом потенциал базы транзистора опускается вниз, а затем по мере разрядки емкости С через резисторы  $R_2$  и  $R^*$  повышается, стремясь к высокому потенциальному выхода 3. В некоторый момент времени транзистор Т начнет открываться и схема быстро перейдет в начальное состояние.

Подобным образом построен и одновибратор, связанный с ЦАП /см. рис.3/. Транзистор  $T_1$  введен для улучшения линейности разряда конденсатора  $C_2$ . Выходной импульс снимается с дифференциальной пары /  $T_3$  и  $T_4$  /, на левый вход которой поступает запирающий импульс с  $C_2$ , а на правый - опорный потенциал, зависящий от величины сопротивления в цепи эмиттера  $T_8$ . Транзистор  $T_4$  в исходном состоянии закрыт, а  $T_3$  - открыт. При сбрасывании одновибратора транзистор  $T_3$  закрывается, а  $T_4$  открывается на время, пока потенциал на базе  $T_3$  не поднимется до опорного.

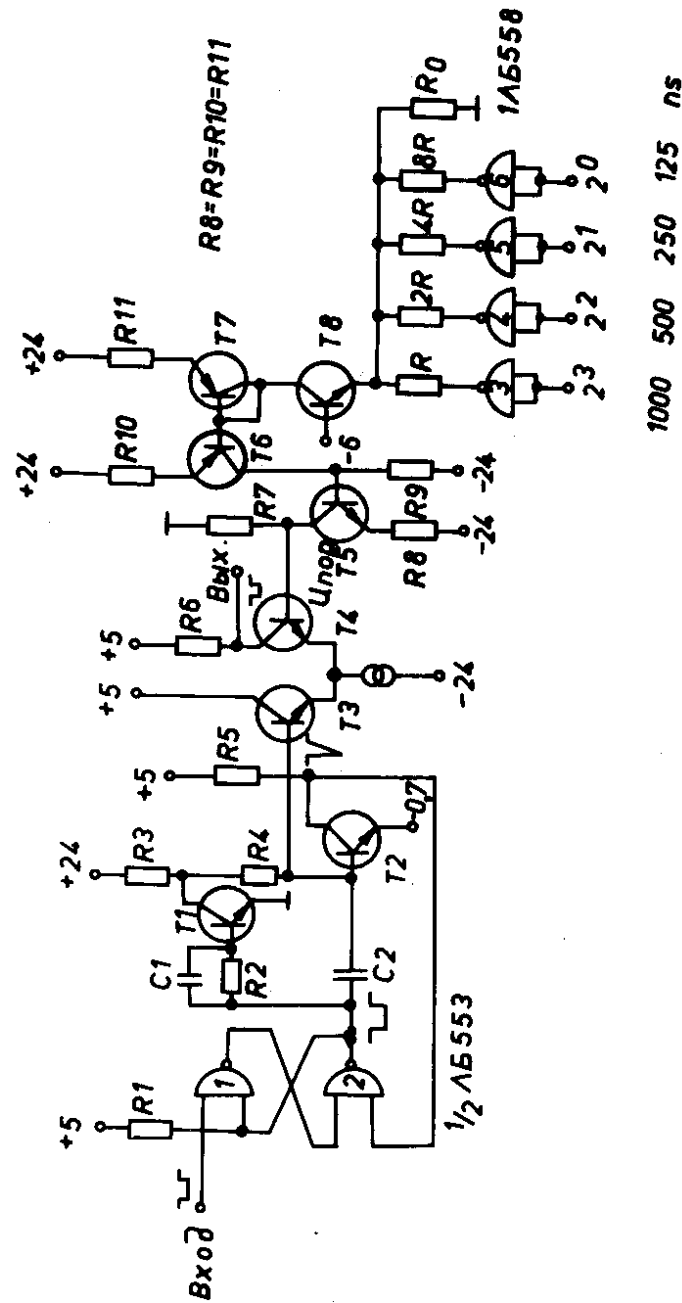


Рис.3. Одновибратор для регулируемой задержки сигналов.

#### 4. ЛОГИКА УПРАВЛЕНИЯ

Включение того или иного канала и выбор режима работы одновибраторов осуществляются при помощи четырех управляющих регистров, отнесенных к подадресам A(0), A(1), A(2) и A(3) соответственно. Первый регистр обслуживает первый и второй каналы, второй регистр - третий и четвертый и т.п. Число разрядов в отдельном регистре равно 14, из них первая половина связана с нечетными каналами, а вторая - с четными. Сами каналы включаются разрядами Q=7 или Q=14. Например, при Q(7) A(1) будет включен третий канал, а при Q(14) A(1) - четвертый. Комбинация Q(14) A(3) служит для общего включения блока, а Q(11)A(3) - для выключения блокировки /см. рис.1/.

Разряды Q=1÷4 или Q=8÷11 служат для управления ЦАП-1 при выборе задержки /см. табл.1/, а Q=5,6 или Q=12,13 позволяют включать один, два или три одновибратора, обеспечивающих задержку 2 мкс каждый.

Таблица 1

Q	1	2	3	4	5	6
Q	8	9	10	11	12	13
$2^0$	$2^1$	$2^2$	$2^3$	$2^4$	$2^5$	
T, мкс	0,125	0,250	0,5	1	2	4

Разряды Q=8,9 и 10 подадреса A(3) используются для управления ЦАП-2 при выборе длительности импульса.

#### 5. ПРОГРАММА

В одном каркасе КАМАК вместе со схемой совпадений используются счетчик импульсов, ВЦП, АЦП с восстановителем нулевой линии и две буферные памяти

на 64 слова каждая. В случае совпадений информация с ВЦП и АЦП заносится в буферные памяти параллельно и по заполнении их передается через контроллер /ККОО4//3/ в ЭВМ. Программа для организации совпадений приведена в Приложении. Структура программы выглядит следующим образом /приводимые ниже числа указывают строки программы/.

1. Старт, декларативная и подготовительная части /1-17/.
2. Осуществление связи ЭВМ /типа ПНР/ с каркасом КАМАК и включение его в работу /17-27/.
3. Запись параметров в управляющие регистры ВЦП, схемы совпадений, восстановителя нулевой линии и АЦП /28-42/.
4. Включение и сброс счетчика, измерение скорости счета в ВЦП и АЦП без совпадений /44-60/. Программа прерывается, если хотя бы в одном из них счет отсутствует.
5. Поиск оптимальных задержек и длительностей импульсов в каналах схемы совпадений, подключенных к ВЦП и АЦП /61-106/. Более подробно эта часть программы рассмотрена на рис.4. В данном случае задержка вводится в канал, связанный с ВЦП.

В приложении содержится также часть программы /107-129/, относящаяся к измерению спектров ВЦП в режиме без совпадений.

Рис. 5 иллюстрирует типичные кривые задержанных совпадений. Оптимальная задержка соответствует центру тяжести отдельного спектра. Видно, что эффективности регистрации в последнем и предпоследнем случае близки друг к другу, а с уменьшением длительности импульсов понижаются. Выбор оптимальной длительности зависит от требований эксперимента.

Отметим, что в рассмотренном выше примере применения схемы совпадений было выбрано 6 ступеней изменения длительности импульсов, хотя при необходимости число ступеней легко увеличить до 8. Для этого в программе /см. рис. 4/ достаточно взять N=8 вместо N=6.

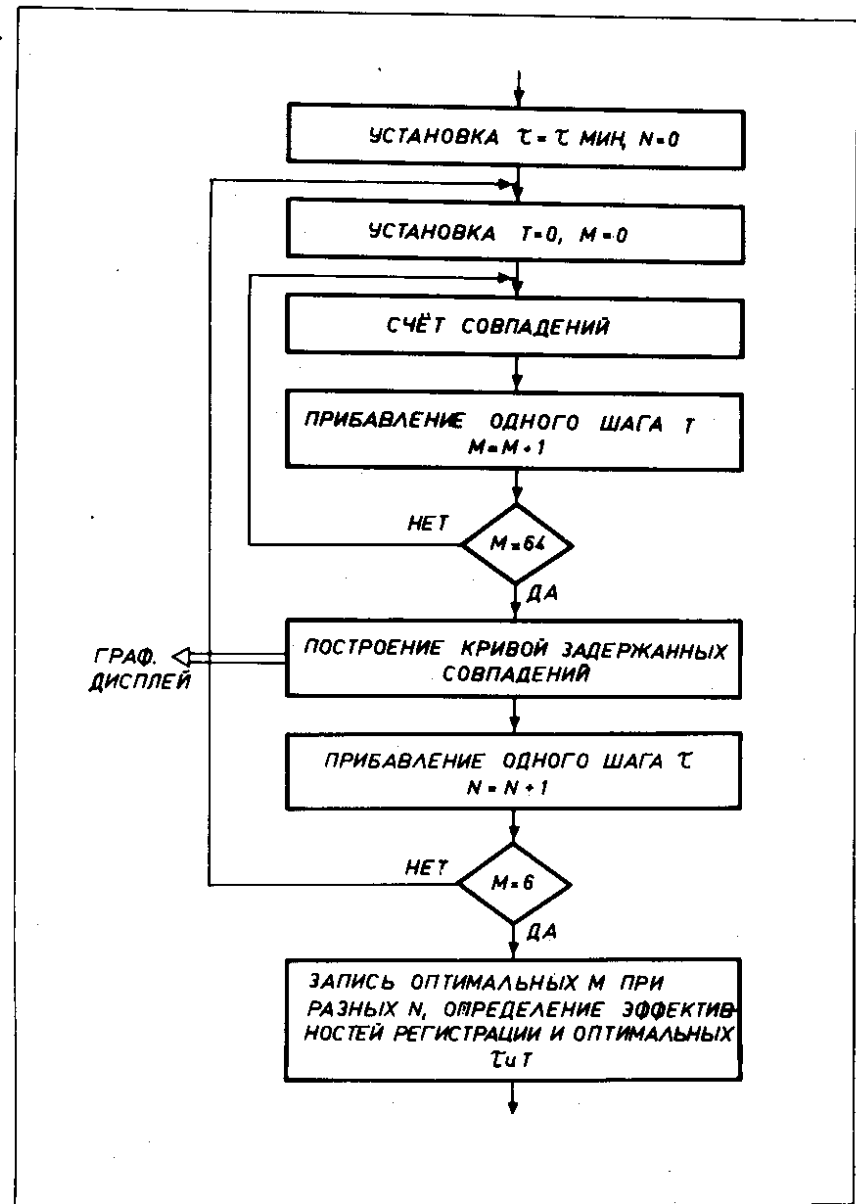


Рис.4. Блок-схема части программы, определяющей длительность импульса  $\tau$  и время задержки  $T$ .

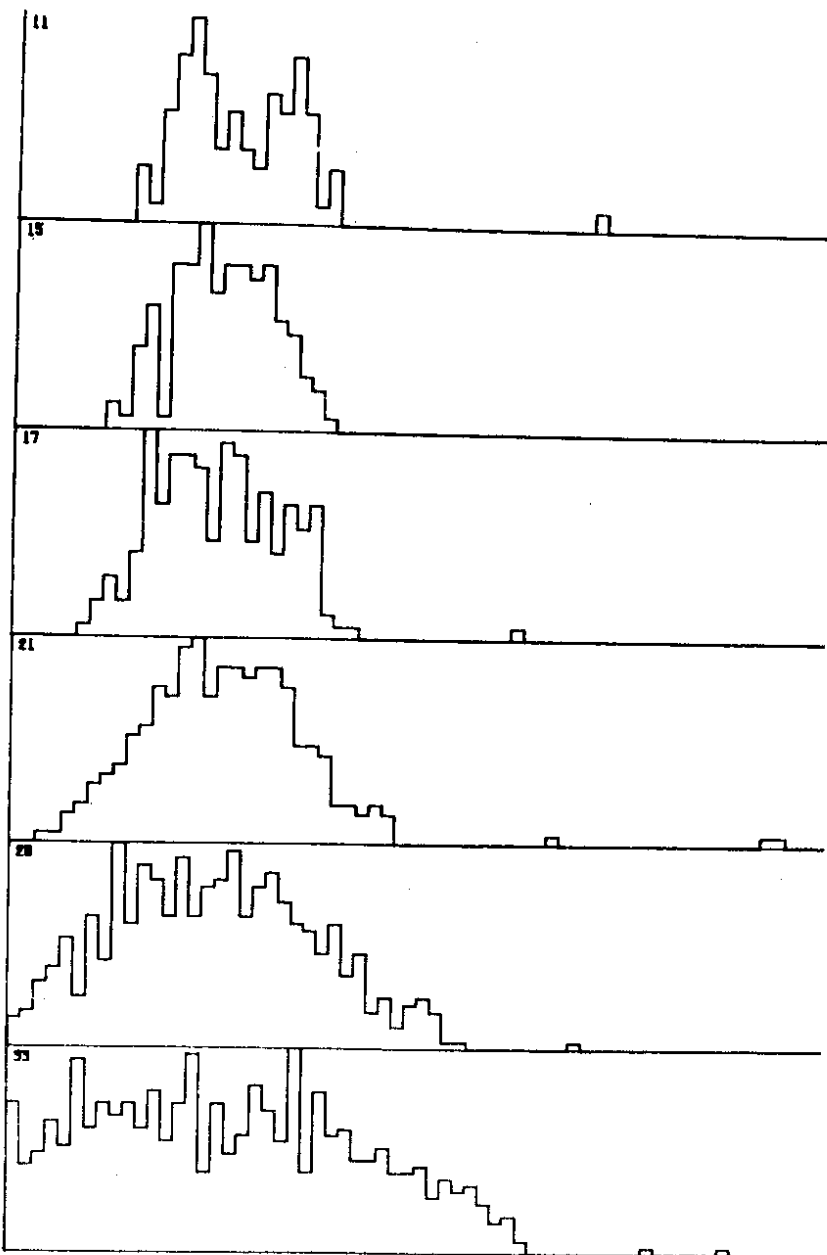


Рис.5. Задержанные совпадения для различных длительностей импульсов  $\tau$ . Числа указывают максимальный счет при данном  $\tau$ .

**6. Технические данные схемы совпадений и используемые в ней функции КАМАК**

Число входов совпадений	- 6
антисовпадений	- 1
Амплитуда входных и выходных импульсов	- 0,8 В на 50 Ом
Полярность	- отрицательная
Длительность импульсов на входе	- $\geq 10$ нс
на выходе	- 200 нс,
в каналах совпадений	- $\tau = 0,250 \pm 5$ мкс
в каналах антисовпадений	- $\tau = 0,375 \pm 7,5$ мкс
Число ступеней регулирования	- 8
Температурный коэффициент	- 0,25%/ $^{\circ}$ C
Диапазон задержек в каналах	- $T = 0 \div 7,875$ , мкс
Число ступеней задержек	- 16
Температурный коэффициент для задержки	- 0,02%/ $^{\circ}$ C
$N \cdot [A(0) \div A(3)] \cdot F(17)$	- запись управляющих регистров
$N \cdot [A(0) \div A(3)] \cdot F(1)$	- их чтение
$N \cdot A(0) \cdot F(2)$	- чтение контрольных регистров
$N \cdot A(0) \cdot F(24)$	- выключение всех входов
$N \cdot A(0) \cdot F(26)$	- их включение
I	- блокировка всех входов на время подачи сигнала
Q	- $N \cdot [A(0) \div A(3)] \cdot [F(1) + F(2)]$
X	- $N \cdot [A(0) \div A(3)] \cdot [F(1) + F(2) + F(17) + F(24) + F(26)]$

В заключение авторы выражают свою признательность Ф.Габриэлю за ценные предложения при разработке схемы описанного блока.

Приложение

```

0001 FTN4
0002 PROGRAM SETKA
0003 DIMENSION IEU(65),ISL(4),MX(6),IA(6),RS(6),TI(6)
0004 COMMON NN(4296)
0005 LOGICAL LAM
0006 C ORGANISATION OF FAST-SLOW COINCIDENCE
0007 C CAMAC-MODULES USED
0008 C KA-201 TIME-TO-DIGITAL CONVERTER NTDC
0009 C KL-204 SLOW COINCIDENCE NSLO
0010 C KA-206 ANALOG-TO-DIGITAL CONVERTER NADC
0011 C KA-207 BASE-LINE-RESTORER NBLR
0012 C KL-207 BUFFER MEMORY NEU1, NEU2
0013 C SCALER NSCA
0014 DATA NTDC, NSLO, NBLR, NADC, NEU1, NEU2, NSCA/9, 11, 12, 14, 16, 17, 1
0015 18/
0016 C LOGICAL UNIT OUTPUT, NUMBER OF CYCLES TO BE RECORDED
0017 DATA LU, NAN/1, 16/
0018 CAMAC-CHANNEL
0019 DATA ICH/20/
0020 CALL CINIT(ICB)
0021 WRITE(LU, 100)
0022 100 FORMAT("** ORGANISATION OF SLOW COINCIDENCE TDC - ADC **")
0023 CRATE INITIALISATION
0024 C, Z, I CLEAR
0025 CALL CCNT(28, 9, 26, IST)
0026 CALL CCNT(28, 8, 26, IST)
0027 CALL CCNT(30, 9, 24, IST)
0028 C TDC SET
0029 ITD=7135B
0030 CALL CINOU(NTDC, 0, 17, ITD, IST)
0031 CALL QTEST(NTDC, IST)
0032 ISL(1)=100B
0033 ISL(4)=24000B
0034 DO 10 I=1, 4
0035 CALL CINOU(NSLO, I-1, 17, ISL(I), IST)
0036 10 CALL QTEST(NSLO, IST)
0037 C BLR, ADC SET
0038 IBL=10B
0039 IAD=4001B
0040 CALL CINOU(NBLR, 0, 17, IBL, IST)
0041 CALL QTEST(NBLR, IST)
0042 CALL CINOU(NADC, 0, 17, IAD, IST)
0043 CALL QTEST(NADC, IST)
0044 C RATE FROM TDC
0045 CALL CCNT(NSCA, 0, 26, IST)
0046 CALL CCNT(NSCA, 0, 9, IST)
0047 CALL WAIT(1000)
0048 CALL CINOU(NSCA, 0, 0, NT, IST)
0049 C RATE FROM ADC, ENABLE INPUT 3 INSTEAD 1 AT SLOCO
0050 CALL CINOU(NSLO, 0, 17, 0, IST)
0051 CALL CINOU(NSLO, 1, 17, 100B, IST)
0052 CALL CCNT(NSCA, 0, 9, IST)
0053 CALL WAIT(1000)
0054 CALL CINOU(NSCA, 0, 0, NE, IST)
0055 C RESULT
0056 WRITE(LU, 101) NT, NE
0057 101 FORMAT("RATE IN TIME - BRANCH"16"/SEC"/
0058 1 "RATE IN ENERGY - BRANCH"16"/SEC")
0059 C NO PULSES -- EXIT
0060 IF(NT.EQ.0.OR.NE.0) GOTO 99
0061 C
0062 CHANGING DELAYS - SEARCHING FOR COINCIDENCE
0063 C
0064 WRITE(LU, 102)
*** LIST END ***

```

## ЛИТЕРАТУРА

1. Габриэль Ф. и др. Сообщение ОИЯИ, Р13-11201, Дубна, 1978.
2. Габриэль Ф., Мерзляков С.И., Экштейн П.В кн.: Материалы IX симпозиума ОИЯИ по ядерной электро- нике /Варна, 1977/. ОИЯИ, Д13-11182, Дубна, 1978.
3. Журавлев Н.И. и др. Сообщение ОИЯИ, ТО-8754, Дубна, 1975.

```

0065      FORMAT("START WITH DELAY")
0066      CALL CINOU(NSLO,0,17,100B,IST)
0067      N=0
0068  C OUTER LOOP - WIDTH
0069      41 ID=100B
0070      M=0
0071      CALL CINOU(NSLO,3,17,ISL(4),IST)
0072  C INNER LOOP - DELAY
0073      44 CALL CINOU(NSLO,0,17,ID,IST)
0074      CALL CCONT(NSCA,0,9,IST)
0075      CALL WAIT(200)
0076      CALL CINOU(NSCA,0,0,NZ,IST)
0077      M=M+1
0078      NN(M)=NZ
0079      ID=ID+1
0080      IF(M.LT.64) GOTO 44
0081      CALL DISTE(NN,64,1,64)
0082      N=N+1
0083      CALL MAXPO(MX(N),LA(N))
0084      ISL(4)=ISL(4)+200B
0085      IF(N.LT.6) GOTO 41
0086  C TABLE OF RESULTS
0087      FAK=100B/FLOAT(MX(6))
0088      DO 45 I=1,6
0089      TI(I)=1.534127*MX(I-1)/2.
0090      RE(I)=FLOAT(MX(I))*FAK
0091      45 MX(I)=MX(I)*10
0092      WRITE(LU,46)(I,I=1,6),(TI(I),I=1,6),(MX(I),I=1,6)
0093      1          (RE(I),I=1,6),(LA(I),I=1,6)
0094  46 FORMAT("RESULTS FOR DIFFERENT COINCIDENCE-WIDTHS"/
0095      1          "STEP"2X,6I10/"TIME [MEC] "6F10.1/"COUNTS/SEC",6I10/
0096      2          "COUNTS [%]"6F10.1/"POSITION"4X,6I10/)
0097  C FIX PARAMETERS FOR COINCIDENCE
0098      WRITE(LU,47)
0099  47 FORMAT("GIVE STEP-NO TO BE INSTALLED :_")
0100      READ(1,*) I
0101      ID=LA(I)+63
0102      ISL(4)=200A0B+200B*(I-1)
0103      CALL CINOU(NSLO,0,17,1D ,IST)
0104      CALL QTTEST(NSLO,IST)
0105      CALL CINOU(NSLO,3,17,ISL(4),IST)
0106      CALL QTTEST(NSLO,IST)
0107  C _____
0108  C TIME SPECTRUM
0109  C _____
0110      NAN=1
0111      DO 50 I=1,1024
0112      50 NN(I)=0
0113      WRITE(LU,51)
0114  51 FORMAT(/"RECORDING OF TIME-SPECTRUM"/)
0115  C WITHOUT CO-MODE TDC
0116      CALL CINOU(NTDC,0,17,7135B,IST)
0117      M=0
0118      CALL CCONT(NEU2,1, 9,IST)
0119      CALL CCONT(NEU2,0,26,IST)
0120      52 CALL CCONT(NEU2,0, 8,LAM)
0121      IF(LAM) 53,52
0122      53 CALL CBQL(NEU2,0,2,IEU,65,IST)
0123      M=M+1
0124  C UPDATING TIME
0125      DO 54 I=2,65
0126      J=LAND(IEU(I),1777B)+1
0127      54 NN(J)=NN(J)+1
0128      IF(M.LT.NAN) GOTO 52
0129      CALL DISTE(NN,1024,1,1024)
xxxx LIST END xxxx

```

Рукопись поступила в издательский отдел  
22 марта 1978 года.